

ГЛАВА 11

РЕЛАКСАЦИОННЫЕ ГЕНЕРАТОРЫ ПРЯМОУГОЛЬНЫХ ИМПУЛЬСОВ

Для получения импульсов прямоугольной формы широко используются релаксационные генераторы, построенные на основе усилителей с положительной обратной связью. Релаксационные генераторы, в которых положительная обратная связь создается с помощью RC -цепей, называют мультивибраторами. Если положительная обратная связь создается с помощью импульсного трансформатора, то такие релаксационные генераторы называют блокинг-генераторами.

Релаксационные генераторы могут работать в двух режимах: автоколебательном и ждущем.

В автоколебательном режиме схема имеет два квазистойчивых состояния, длительность каждого из которых определяется времязадающей цепью.

В ждущем режиме схема имеет одно устойчивое состояние, в котором может находиться неограниченно долго. Под действием короткого запускающего внешнего импульса схема скачком переходит в квазистойчивое состояние, а затем самостоятельно возвращается в исходное состояние, формируя импульс заданной длительности.

§ 11.1. РЕЛАКСАЦИОННЫЕ ГЕНЕРАТОРЫ НА ТРАНЗИСТОРАХ

Принципиальная схема симметричного автоколебательного мультивибратора на биполярных транзисторах приведена на рис. 11.1, а. Работа мультивибратора в течение одного периода колебаний представлена на временных диаграммах рис. 11.1, б. Для наглядности предполагается, что переход схемы из одного состояния в другое осуществляется мгновенно.

Из рис. 11.1, б видно, что время нахождения схемы в одном из квазистойчивых состояний определяется временем разряда соответствующего конденсатора через открытый транзистор и базовый резистор. Основные расчетные формулы см. в [15].

Длительность выходного импульса с напряжением $U_{\text{вых}2} = U_{\text{k2}}$

$$t_{\text{и}} = R_1 C_1 \ln \frac{2E_{\text{k}} + I_{\text{KБ0}}(R_1 - R_{\text{k1}})}{E_{\text{k}} + I_{\text{KБ0}}R_1}. \quad (11.1)$$

Длительность паузы между двумя соседними импульсами

$$t_n = R_2 C_2 \ln \frac{2E_k + I_{KBO}(R_2 - R_{k2})}{E_k + I_{KBO}R_2}. \quad (11.2)$$

При выполнении условий $E_k \gg I_{KBO}R_1$, $E_k \gg I_{KBO}R_2$ будем иметь

$$t_n \approx 0,7 R_1 C_1, \quad (11.3)$$

$$t_n \approx 0,7 R_2 C_2. \quad (11.4)$$

Длительность отрицательного фронта выходного импульса при запирании транзистора T_2

$$t_\phi^- \approx 3R_{k2}C_2. \quad (11.5)$$

Длительность положительного фронта выходного импульса определяется переходными процессами отпирания транзистора T_2 и составляет несколько τ_α . Обычно принимают [15], что $t_\phi^+ \approx 3\tau_\alpha$.

Условие насыщения открытого транзистора

$$R \leq \beta_{min} R_k. \quad (11.6)$$

Обычно принимают $R = 0,8\beta_{min}R_k$.

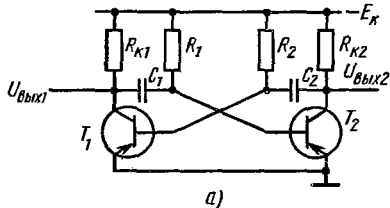
Максимальная скважность последовательности выходных импульсов

$$Q_{max} = \frac{\beta_{min}}{3} + 1. \quad (11.7)$$

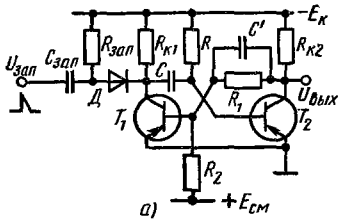
На рис. 11.2, а представлена схема ждущего мультивибратора с коллекторно-базовыми связями. Транзистор T_1 в исходном состоянии закрыт положительным напряжением смещения E_{cm} . Транзистор T_2 открыт и насыщен. При воздействии короткого запускающего импульса в схеме происходит регенеративный процесс, в результате которого транзистор T_2 закрывается, а транзистор T_1 входит в режим насыщения.

Такое состояние схемы является квазистойчивым, так как конденсатор C перезаряжается с постоянной времени $\tau_p = RC$, стремясь изменить свою полярность на противоположную. При этом положительное напряжение на базе транзистора T_2 уменьшается по экспоненте с той же постоянной времени, стремясь к значению $-E_k - I_{KBO}R$. В момент времени t_2 напряжение U_{62} достигает нулевого значения, транзистор T_2 открывается, вновь возникает регенеративный процесс, в результате которого транзистор T_1 закрывается, а T_2 входит в режим насыщения. Конденсатор C заряжается с постоянной времени $\tau_3 = R_{k1}C$, и схема возвращается в исходное состояние.

Временные диаграммы, иллюстрирующие работу ждущего мультивибратора с коллекторно-базовыми связями, представлены на рис. 11.2, б.



а)



а)

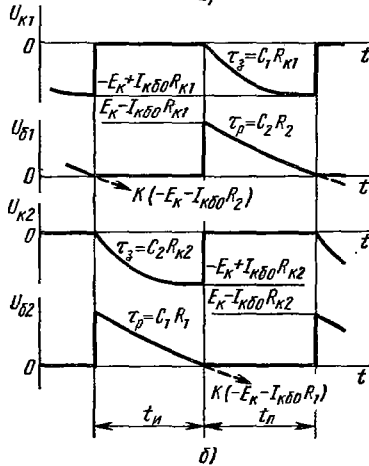


Рис. 11.1

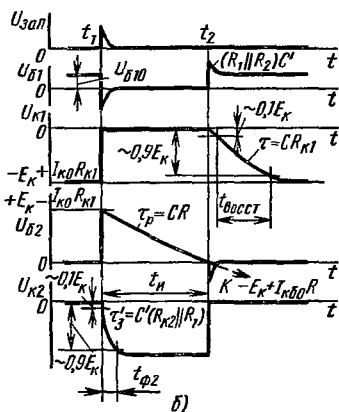


Рис. 11.2

Расчетные формулы имеются в литературе [15]. Время, в течение которого схема находится в квазистабильном состоянии (называемое временем выдержки), определяет длительность формируемого выходного импульса

$$t_{\text{и}} = RC \ln \frac{2E_k + I_{KБ0}(R - R_{k1})}{E_k + I_{KБ0}R}. \quad (11.8)$$

Если выполняется условие $E_k \gg I_{KБ0}R$, то формулу (11.8) можно записать так:

$$t_{\text{и}} = RC \ln 2 \approx 0,7RC. \quad (11.9)$$

Время восстановления исходного состояния определяется зарядом конденсатора C :

$$t_{\text{восст}} \approx (3 \div 5) R_{k1} C. \quad (11.10)$$

Длительность отрицательного фронта выходного импульса $t_{\Phi2}$ определяется зарядом конденсатора C' после запирания транзистора T_2 :

$$t_{\Phi2} \approx 2,3(R_{k2} \parallel R_1)C'. \quad (11.11)$$

Длительность положительного фронта $t_{\Phi 2}^+$ определяется регенеративным процессом отпирания транзистора T_2 :

$$t_{\Phi}^+ \approx 3\tau_a. \quad (11.12)$$

Для надежного запирания транзистора T_1 при максимальной температуре окружающей среды сопротивление резистора R_2 выбирают из условия

$$E_{cm} \geq I_{KBOmax} R_2. \quad (11.13)$$

Недостатком схемы ждущего мультивибратора с коллекторно-базовыми связями является влияние сопротивления нагрузки на процессы переключения схемы и большая длительность фронта $t_{\Phi 2}^-$ коллекторного напряжения U_{k2} при запирании транзистора T_2 , которая определяется зарядом конденсатора C (рис. 11.2, б). Эти недостатки отсутствуют в схеме ждущего мультивибратора с эмиттерной связью (рис. 11.3, а). Временные диаграммы работы ждущего мультивибратора с эмиттерной связью приведены на рис. 11.3, б.

В исходном состоянии схемы ($U_{bx} = 0$) транзистор T_1 закрыт, а транзистор T_2 открыт и насыщен. При подаче на базу транзистора T_1 короткого отпирающего импульса запуска $U_{ зап }$ в схеме возникает регенеративный процесс, в результате которого схема скачком переходит в квазистойчивое состояние, во время которого конденсатор C разряжается с постоянной времени $\tau_p = (R_3 + R)C \approx RC$, а напряжение U_{62} на базе транзистора T_2 уменьшается по экспоненте с той же постоянной времени от значения $E_k - U_{31} - U_{32} - I_{KBO}R_{k1}$, стремясь к величине $-E_k - I_{KBO}R$.

Условие насыщения транзистора T_1 имеет вид

$$R_{k2} < R_{k1} - R_1/\beta_{min}.$$

Обычно принимают

$$R_{k1} = (1,5 \div 4,0) R_{k2}. \quad (11.14)$$

Когда напряжение U_{62} , уменьшаясь, становится равным напряжению $U_{31} = I_{31}R_3$, в схеме происходит обратный переброс. Конденсатор C заряжается с постоянной времени $\tau_3 = R_{k1}C$ до значения $E_k - U_{32}$, и схема возвращается в исходное состояние.

Время выдержки (длительность выходного импульса) можно рассчитать по формуле

$$t_i = RC \ln \frac{2E_k - (U_{31} + U_{32}) + I_{KBO}(R - R_{k1})}{E_k - U_{31} + I_{KBO}R}. \quad (11.15)$$

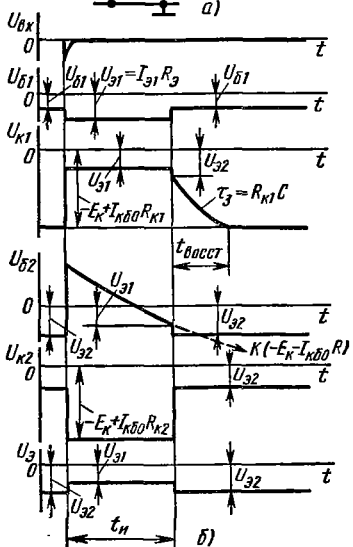
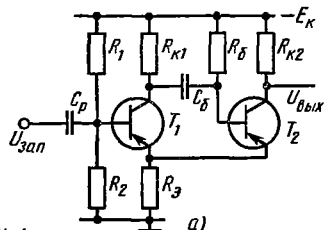


Рис. 11.3

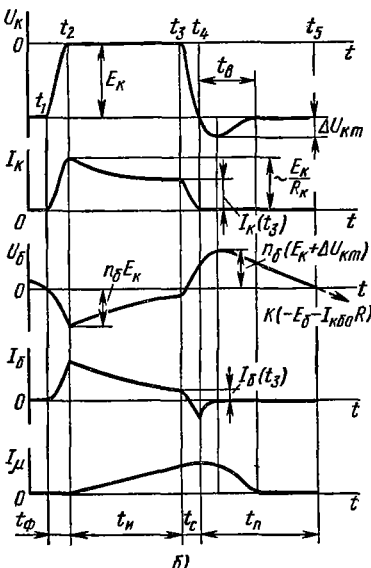
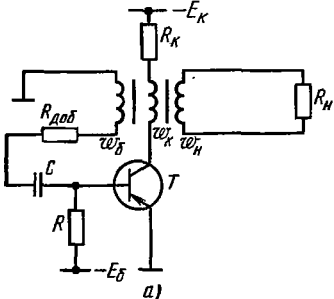


Рис. 11.4

Полагая, что

$$E_K \gg I_{K\text{Б0}}R,$$

$$U_{\delta 1} < U_{\delta 2} \ll E_K,$$

будем иметь

$$t_u = RC \ln 2 \approx 0,7 RC. \quad (11.16)$$

Время восстановления исходного состояния схемы

$$t_{\text{восст}} = (3 \div 5) R_{K1} C. \quad (11.17)$$

Длительность положительного и отрицательного фронтов выходного напряжения $U_{\text{вых}}$ определяется регенеративным про-

цессом при прямом и обратном перебросах схем и составляет несколько τ_α .

К недостаткам схемы ждущего мультивибратора с эмиттерной связью следует отнести ненулевой уровень выходного напряжения в исходном состоянии схемы, когда $U_{\text{вых}} \approx U_{z2}$.

На рис. 11.4 приведены схема автоколебательного блокинг-генератора (а) и временные диаграммы напряжений и токов (б), поясняющие работу схемы. К моменту времени t_1 конденсатор C полностью разряжается и напряжение U_b транзистора становится равным нулю. Транзистор открывается, и его рабочая точка входит в активную область. Возникающие при отпирании транзистора приращения коллекторных напряжения и тока через трансформатор передаются в базовую обмотку с числом витков w_b , которая включена таким образом, что возникшие в ней приращения напряжения и тока вызывают еще большее увеличение коллекторного тока транзистора. Процесс развивается лавинообразно до тех пор, пока в момент времени t_2 транзистор не войдет в режим насыщения.

После момента времени t_2 , когда транзистор находится в режиме насыщения, в блокинг-генераторе происходят следующие процессы:

1) ток базы уменьшается, так как конденсатор заряжается с постоянной времени $\tau_c = r_b C$, и вследствие этого снижается степень насыщения транзистора,

2) напряжение E_k , приложенное к обмотке с числом витков w_k , вызывает рост тока намагничивания I_μ .

В момент времени t_3 ток базы уменьшается настолько, что транзистор выходит из режима насыщения и его коллекторный ток начинает уменьшаться. В это время снова начинает проявляться обратная связь, которая теперь уже будет способствовать запиранию транзистора.

Следует заметить, что момент времени t_3 , а следовательно, длительность импульса блокинг-генератора определяются как уменьшением базового тока, т. е. постоянной времени τ_c , так и изменением коллекторного тока по закону, определяемому не только τ_c , но и постоянной времени трансформаторной цепи $\tau_L = L/r'_b$ ($r'_b = r_b/n_b^2$, $n_b = w_b/w_k$). Если $\tau_L < \tau_c$, то ток I_k возрастает; следовательно, выход транзистора из режима насыщения ускоряется. Если $\tau_L > \tau_c$, то коллекторный ток сначала уменьшается, достигая своего минимума, а затем возрастает [13].

После запирания транзистора и спада U_k до уровня $-E_k$ в коллекторной цепи действует как бы источник тока $I_{\mu\max}$, который заряжает эквивалентную емкость C_0 и соответственно понижает коллекторное напряжение на значение выброса $\Delta U_{k\text{up}}$.

Эквивалентная емкость C_0 состоит из пересчитанных емкостей эмиттерного и коллекторного переходов:

$$C_0 = n_6^2 C_3 + (1 + n_6) C_k. \quad (11.18)$$

В схеме возможен колебательный процесс, поэтому для обеспечения апериодического характера изменения напряжения выброса необходимо выполнить условие

$$\sqrt{L/C_0} > 2R_h. \quad (11.19)$$

После запирания транзистора конденсатор в базовой цепи разряжается от значения $n_6(E_k + \Delta U_{km})$, стремясь к значению $-E_b - I_{k60}R$ с постоянной времени RC . Однако в момент времени t_5 , когда U_b станет равным нулю, транзистор открывается и начинается формирование следующего импульса.

Для обеспечения ждущего режима блокинг-генератора достаточно поменять полярность источника смещения. При подаче отрицательного запускающего импульса формирование основного импульса здесь происходит так же, как и в автоколебательном блокинг-генераторе. Однако при запирании транзистора конденсатор разряжается до значения $E_b - I_{k60}R$ и транзистор остается закрытым.

Основные расчетные формулы приводятся далее. Оптимальное значение $n_{6, \text{опт}}$, при котором длительность фронта минимальна,

$$n_{6, \text{опт}} = \sqrt{\frac{r_6}{R'_h} + \frac{r_6 C_k}{\tau_a}}. \quad (11.20)$$

Во всех практических случаях $n_{6, \text{опт}}$ получается меньше единицы.

Длительности положительного и отрицательного фронтов коллекторного напряжения формируются примерно в одних и тех же условиях и примерно равны друг другу:

$$t_\phi^+ \approx t_\phi^- = 2,3 n_6 [\tau_a (1 + r'_6/R_h) + C_k r'_6], \quad (11.21)$$

где $n_h = w_h/w_k$ — коэффициент трансформации цепи нагрузки; $R'_h = R_h/n_h^2$ — сопротивление нагрузки R_h , приведенное к коллекторной обмотке.

При выполнении условий

$$\vartheta_c = \tau_c/\tau_\beta > 4, \quad \vartheta_i = t_i/\tau_\beta > 3$$

и заданной длительности выходного импульса t_i индуктивность трансформатора выбирают по формуле

$$L \approx \frac{r_6 t_i e^{\tau_i/\tau_c}}{\beta n_{6, \text{опт}}}. \quad (11.22a)$$

При $\vartheta_c < 0,2$, $\vartheta_i > 2$ используют формулу

$$L = \tau_a t_i / (C n_{\text{б.опт}}). \quad (11.22.6)$$

Амплитуда обратного выброса коллекторного напряжения

$$\Delta U_{\text{km}} \approx 0,75 E_k t_i n_{60\text{опт}} / \tau_b, \quad (11.23)$$

где $\tau_b = I/R_h$ — постоянная времени выброса.

Длительность выброса $t_b \approx 2,5 \tau_b$. Для устранения выброса коллекторную обмотку трансформатора шунтируют диодом.

Время между двумя соседними импульсами (время паузы)

$$t_p = RC \frac{n_6 (E_k + \Delta U_{\text{km}}) + E_6 + I_{KBO} R}{E_6 + I_{KBO} R}. \quad (11.24)$$

При $E_6 \gg I_{KBO} R$ и $E_6 \gg \Delta U_{\text{km}}$ получим

$$t_p = RC \ln \left(1 + \frac{n_6 E_k}{E_6} \right). \quad (11.25)$$

Время восстановления исходного состояния в ждущем блокинг-генераторе при положительном значении E_6

$$t_{\text{восст}} = (3 \div 5) RC. \quad (11.26)$$

ПРИМЕРЫ И ЗАДАЧИ

11.1. Рассчитать схему автоколебательного мультивибратора, генерирующего прямоугольные импульсы с амплитудой $U_{\text{вых}} = 10$ В, длительностью $t_i = 100$ мкс и частотой $F = 1,2$ кГц. Нагрузка R_h с сопротивлением 10 кОм включена между коллекторами транзисторов и «землей». Диапазон температур окружающей среды $20 - 60$ °С. Нестабильность рабочей частоты при изменении температуры не должна превышать 12 %.

Решение

1. Определяем скважность выходного сигнала:

$$Q = \frac{T}{t_i} = \frac{1}{F t_i} = 8.$$

2. По формуле (11.7) находим минимальный коэффициент усиления транзистора по току: $\beta_{\min} \geq 3(Q - 1) = 21$.

3. Полагая ориентировочно, что $E_k = 1,2 U_{\text{вых}}$, из условия $U_{\text{кб.доп}} > 2E_k$ (см. временные диаграммы рис. 11.1, б) найдем максимально допустимое коллекторное напряжение закрытого транзистора:

$$U_{\text{кб.доп}} \geq 2(1,2 U_{\text{вых}}) = 24 \text{ В.}$$